

7. Kerne, Kernzerfälle und Kernmodelle

Zur Beschreibung von Atomkernen existieren eine Reihe sehr grober phänomenologischer Modelle. Ein Beschreibung im Rahmen der Theorie der starken WW (QCD) hingegen ist sehr schwierig. Austausch von π^+

7.1 Tröpfchenmodell zur Beschreibung der Bindungsenergi

Bindungsenergi des Kerns = Massendefizit:

$$B(A, Z) = \left[2(m_p + m_e) + (A-2)m_n - M(A, Z) \right] c^2$$

Massa des Atomkerns mit (A, Z)

Als Massastandard wird häufig das Nuklid ^{12}C des Kohlenstoffatoms benutzt; Die atomare Masseneinheit u:

$$u = \frac{1}{12} M_{^{12}\text{C}} = 931,481 \text{ MeV}/c^2$$

\leftarrow Massa des ^{12}C -Atoms

Für die Bindungsenergi in Abhängigkeit von A findet man den folgenden Verlauf:

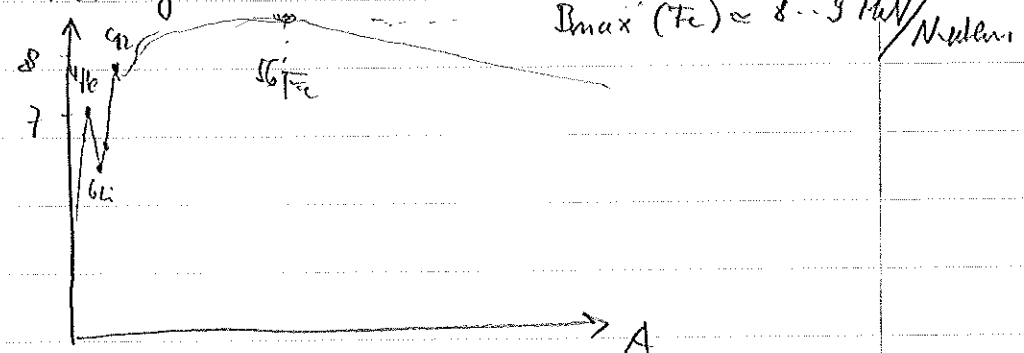


Fig. 7.1

Die max. Bindungsenergi findet man für $A \approx 60$ (Fe und Ni Isotope). Eine erste Parametrisierung der Bindungsenergi bzw. der Kernmassen in Abhängigkeit von A und Z wurde 1935 von G.F. von Weizsäcker vorgeschlagen, die unter dem Namen Kernmasseformel bekannt ist.

Sie beschreibt den Effekt des kurzreichweiten Stabiles WW eines Nukleons mit den anderen Nukleonen des Kerns in Abhängigkeit von der WW der Atome in einem Wassertropfen.
Sie beruht auf einer annähernd konst. Dichte, sonst
 $\text{Vol} \sim A^{1/3}$:

$$BC(A, Z) = a_V \cdot A - a_0 A^{2/3} - a_C \frac{Z^2}{A^{1/3}} - a_{\text{sym}} \frac{(N-Z)^2}{A} + \frac{S}{A^{1/2}}$$

Die Bedeutung der Terme ist:

$$N = A - Z$$

(protonenreich)

Volumenbeitrag $a_V \cdot A$: Jedes Nukleon liefert einen Beitrag zu B
Oberflächeneffekt $-a_0 A^{2/3}$: Nukleonen an Oberfl. $\sim A^{2/3}$ sind weniger stark gebunden.

Abstandabstoß $-a_C \frac{Z^2}{A^{1/3}}$: Effekt \sim mittlerer Radius $\sim A^{1/3}$

Asymmetrieterm $-a_{\text{sym}} \frac{(N-Z)^2}{A}$, bei kleinen Kernen sind solche mit $N > Z$ stabiler, bei schweren Kernen nur $N < Z$.

Protonenterm $\frac{S}{A^{1/2}}$: Große Anzahl von p oder n erhöht die Stabilität des Kerns (n und p sind zu Protonen gehoppt).

$$a_V \approx 15.6 \text{ MeV}$$

$$a_0 \approx 17.2 \text{ MeV}$$

$$a_C \approx 0.7 \text{ MeV}$$

$$a_{\text{sym}} \approx 22.5 \text{ MeV}$$

(siehe Fig. 7.2)

$$S = \begin{cases} +11.2 \text{ MeV} & Z, N \text{ gerade: gg-Kerne} \\ 0 \text{ MeV} & Z \text{ un. } N \text{ gerade: ug-Kerne} \\ -11.2 \text{ MeV} & Z \text{ u. } N \text{ ungerade: uu-Kerne} \end{cases}$$

Massenformel od Bindungsenergieliniest die Bindung oder Q-Werte (= freie Bindende Energie) für Kern-Prozesse: α, β Zerfälle, Spaltung und Fusionreaktionen.

Mehr braucht man nicht!

7.2 Kernzersetzung, Kernspaltung und Kernfusion

a) Stabilität der Kerne:

Ordnet man die beobachteten Kerne in das (Z, N) -Diagramm (s. Abb. 7.3), so beschränken sich die "stabilen Kerne" auf einen engen Bereich ("Stabilitätsdal"), der für leichte Kerne mit $N \approx Z$ und für schwere Kerne mit deutlichem Neutronenüberschuss definiert ist.

- Bei deutlichem Neutronenüberschuss ist es energetisch günstig wenn ein Neutron in ein Proton zufällt.
- Bei überzähligen Protonen findet die angekündigte Reaktion statt (β^+ -Zerfall oder EC).

b) β -Zerfall

Mit der Massenformel läßt sich die Masse von Kernen mit konst. A als Funktion von Z schreiben:

$$M(A, Z) = \alpha \cdot A - \beta \cdot Z + \gamma \cdot Z^2 + \frac{\delta}{A^{1/2}}$$

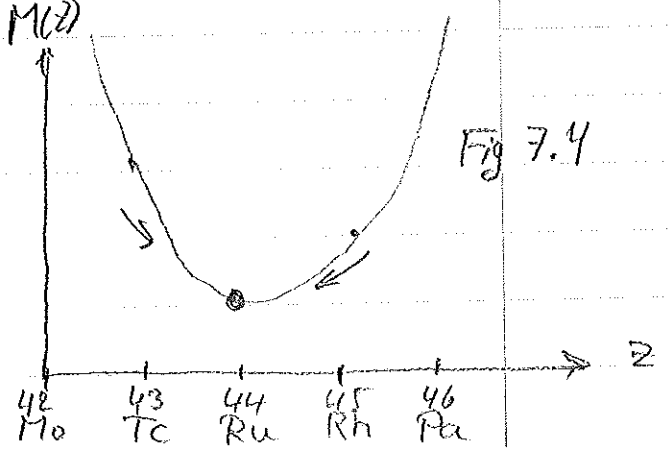
(α, β, γ : Koeffizienten aus Massenformel)

Die Masse ist also eine quadratische Fkt. (Parabel) der Kernladung. Für gg, ug, uu Kerne sind diese Parabeln jeweils um $\frac{1}{\sqrt{A}}$ verschoben: $gg \rightarrow \frac{1}{\sqrt{A}}$, $ug \rightarrow \frac{1}{\sqrt{A}}$, $uu \rightarrow \frac{1}{\sqrt{A}}$. Das Minimum liegt bei $Z = \beta/2\gamma$. Kerne im Minimum sind stabil gegen β -Zerfall.

Bsp.: β -Zerfall für ug-Kerne

$$A = 104$$

$ug \rightarrow ug$: gleiche Parabel



Im Fall von uu oder gg Kernen ist die Situation schwieriger, da es 2 getrennte Parabeln gibt zwischen denen die Übergänge stattfinden. Alle uu Kerne eines stärker gebundenen gg-Kern als Nachbar sind deshalb instabil. (s. Fig. 7.5).

Bei den gg-Kernen gibt es mehr als ein stabiles Nuklid. (Bsp.: Cd und Pd): der möglich doppelte β^- -Zerfall ($2\beta^-$) ist sehr stark anisotrop.

In Konkurrenz zum β^+ -Zerfall kann auch Elektronen einfalls K-Schalen-Elektrons stattfinden, wobei allerdings im Vergleich zum β^+ -Zerfall bei EC außerhalb der Enthalde "entblatteten Lochs" mehr kinetische Energie zur Verfügung steht (es gibt Kerne bei denen β^+ nicht möglich, aber EC kinematisch erlaubt ist)

c) α -Zerfall

Protonen und Neutronen sind auch in sehr schweren Kernen mit bis zu 7 MeV/Nukleon gebunden und können nicht aus dem Kern entweichen.

Oft ist allerdings die Emission eines ${}^4\text{He}$ -Kerns ($2p2p$) möglich, was an die sehr starke Bindung des ${}^4\text{He}$ liegt.

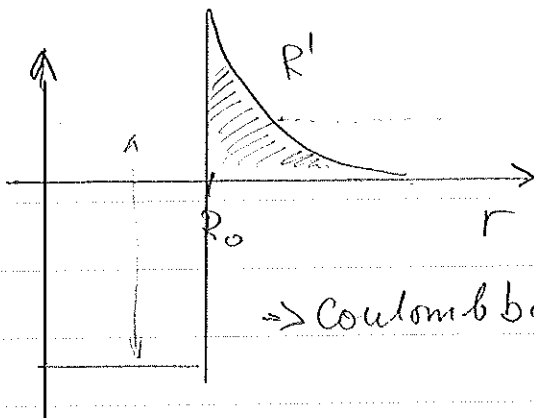
Außenhalb des Kerns erfährt das α -Teilchen durch den Protonen eine Coulombabsorption:

$$V_{\text{ext.}}(r) = 2 \cdot (Z-2) \cdot \frac{\alpha \cdot h \cdot c}{r}$$

$$\frac{{}^4\text{He} \text{ Rest}}{2 \cdot Z}$$

Innenhalb des Kerns besitzt das starke anziehende Kernpotential, das meistens weise durch einen tiefen Potentialtopf beschreibbar wird.

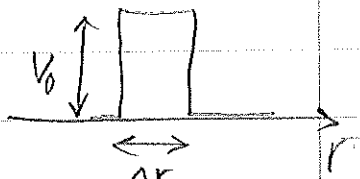
Potenzial



⇒ Coulomb-barriere

Die Wahrscheinlichkeit eines α -Zerfalls wird durch die Tunnelwahrscheinlichkeit durch die Coulomb-Barriere gegeben.

Für die Tunnelwahrscheinlichkeit durch ein Rechteckpotenzial gilt:



$$\text{Transmission } T = e^{-2K\Delta r}$$

$$\text{mit } K = \frac{1}{\hbar} \sqrt{2m\kappa(V_0 - E)}$$

Analog findet man für das Coulomb-Potenzial:

$$T = e^{-2G}$$

mit Gamov-Faktor

$$G = \frac{1}{\hbar} \int_{R_0}^{R'} \left[2m\kappa(V(r) - E) \right]^{1/2} dr$$

(zentral Potenzial)

$$\text{Zerfallsrate: } \Gamma = W(\alpha) \cdot v \cdot e^{-2G}$$

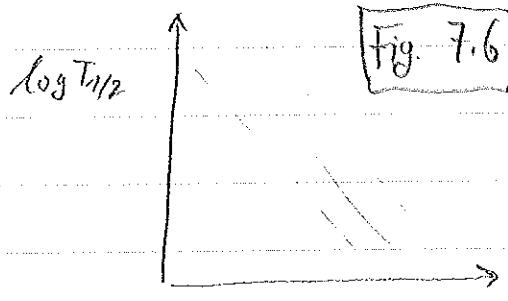
↑ Stoßrate mit Potentialbarrier.

Beds. Wahrscheinlichkeit

für α -Wieder

Halbwertszeit $T_{1/2}$:

$$\ln T_{1/2} = 2 \ln \Gamma \approx \ln \frac{1}{T} \approx + \text{const} \cdot \frac{1}{\sqrt{E}} \quad (\text{Beigr.-Nutzall Regel})$$



Durch die α -Zerfälle werden 4 radioaktive Zerfallsreihen festgestellt: $A = 4n, 4n+1, 4n+2, 4n+3$

Si Abb. 7.7

d) Kernspaltung

(Z=26)

Da die Bindungsenergie für ^{56}Fe am größten ist, können sich Kerne mit $A > 56$ prinzipiell in 2 mittelschwere Kerne aufspalten, wobei die Spaltbarriere, die durchtunet werden muss i. a. sehr hoch ist.

(i) Spontane Spaltung

Leichteste Isotope bei deren spontane Spaltung mit dem α -Zerfall konkurrenzieren sind einige Uran-Isotope.

Damit sich ein Kern spaltet, muß sich seine Nukleonenverteilung zu einem Ellipsoid deformieren:

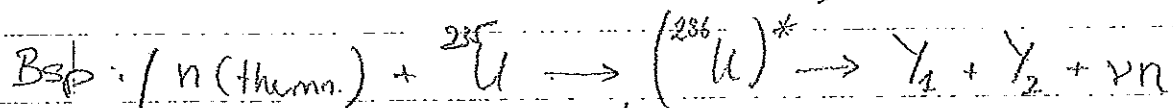
- Bindungsenergie verteilt sich aufgrund der anwachenden Oberfläche
- Gleichzeitig sinkt aber auch die Coulomb-Abschöpfung
(Man findet, daß eine spontane Spaltung möglich ist, wenn $\frac{Z^2}{A} > \frac{2a_0}{\alpha_C} \approx 48$ ($Z > 74$; $A > 270$))

(ii) Stoßinduzierte Kernspaltung

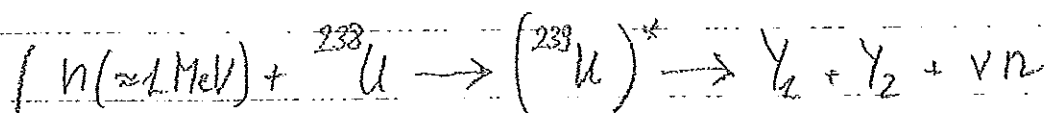
Für Kerne mit $\frac{Z^2}{A} < 48$ kann die Spaltung durch Zuführen einer Stoßenergie, mit der die Spaltbarriere überwunden werden kann, induziert werden.

Besonders effektiv ist die Beschuß mit Neutronen, die keine Coulomb-BARRIERE überwinden müssen. In modernen Fällen reichen flüchtige Energien:

Compound-Kern



$$E_B = m({}^{235}\text{U}) + m_n - m({}^{236}\text{U}) = 6.4 \text{ MeV} > \Delta E_{\text{spalt}} \approx 5.8 \text{ MeV}$$

¹¹
32

$$E_B = m({}^{238}\text{U}) + m_n - m({}^{233}\text{U}) = 4.8 \text{ MeV} < \Delta E_{\text{spalt}} \approx 6.4 \text{ MeV}$$

¹²
32